

図1 2026年4月27日 (225) Henrietta

+印：1秒ごとの掩蔽帯中心

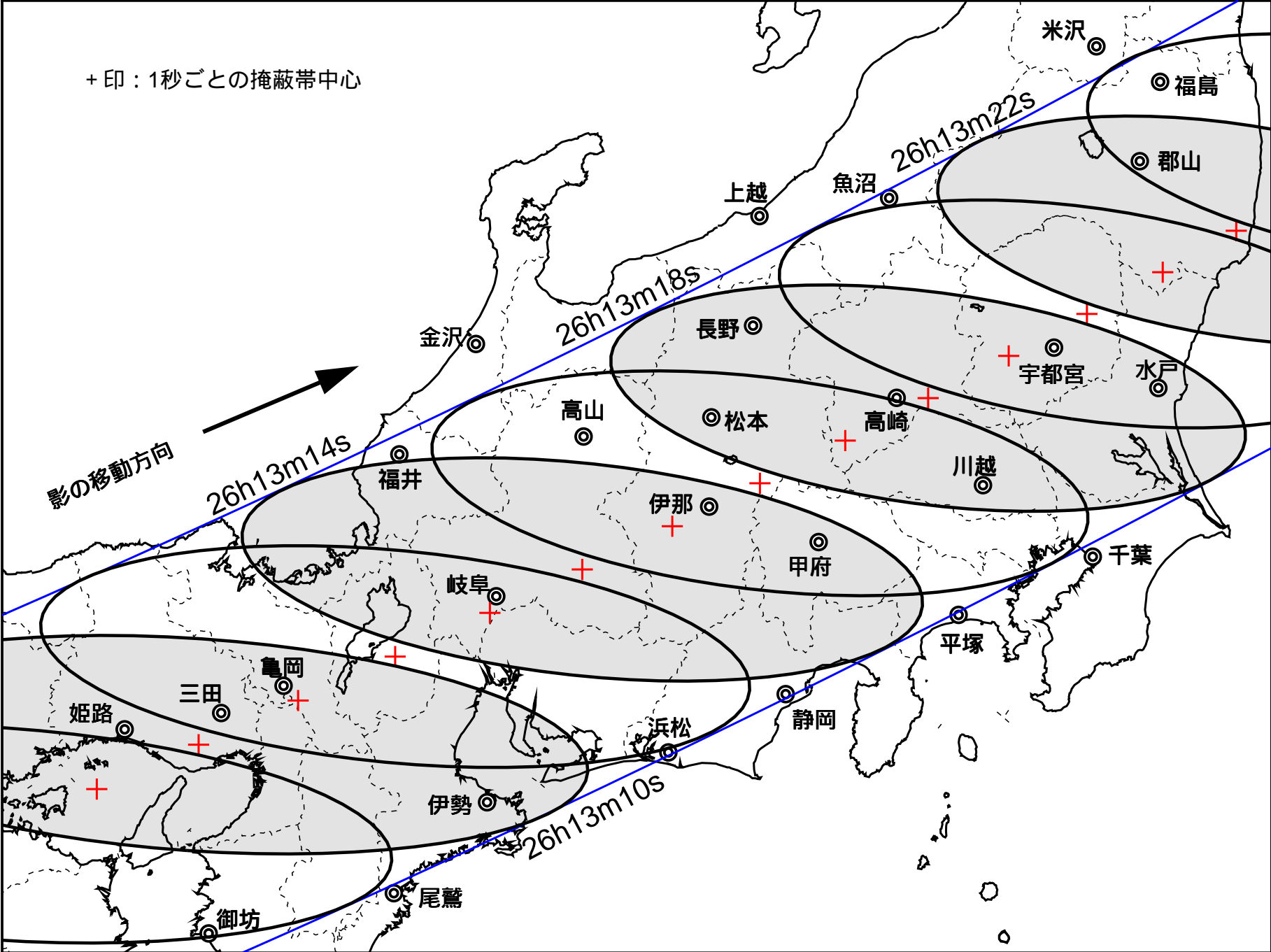


図2 4月27日(月) (225) Henriettaの掩蔽帯経路

(276) Adelheid

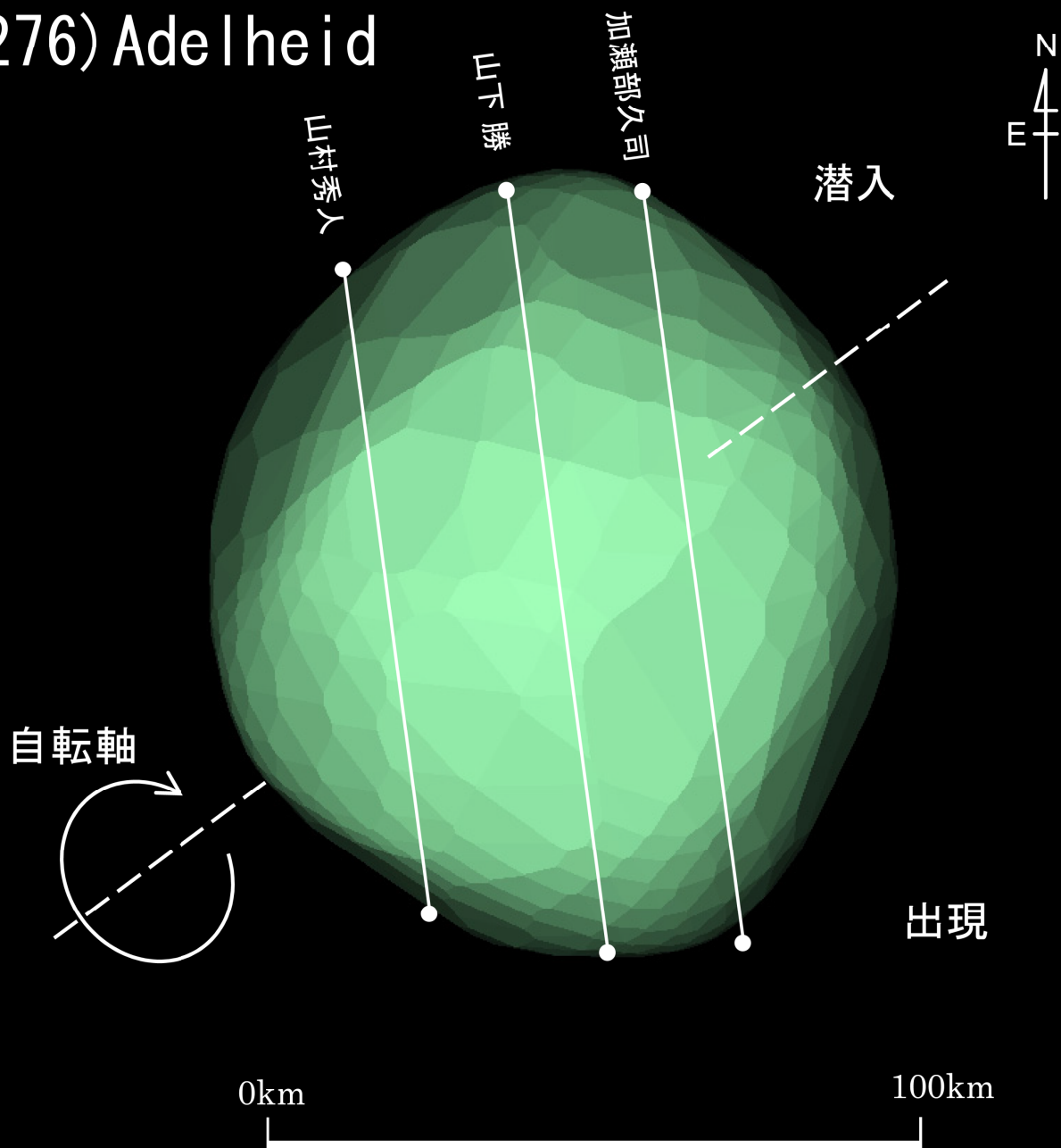


図3 (276) Adelheid 2025年4月26日 11h59m14s UT DAMIT Model 190 ($\lambda = 199$ 、 $\beta = -20$) ※1
 $P = 126^\circ$ 、 $\beta_e = -57^\circ$ 、 $\lambda_e = -29^\circ$ 、Scale Factor 1: 0.944、 $k = 0.982$ 、 $B = 281.1^\circ$

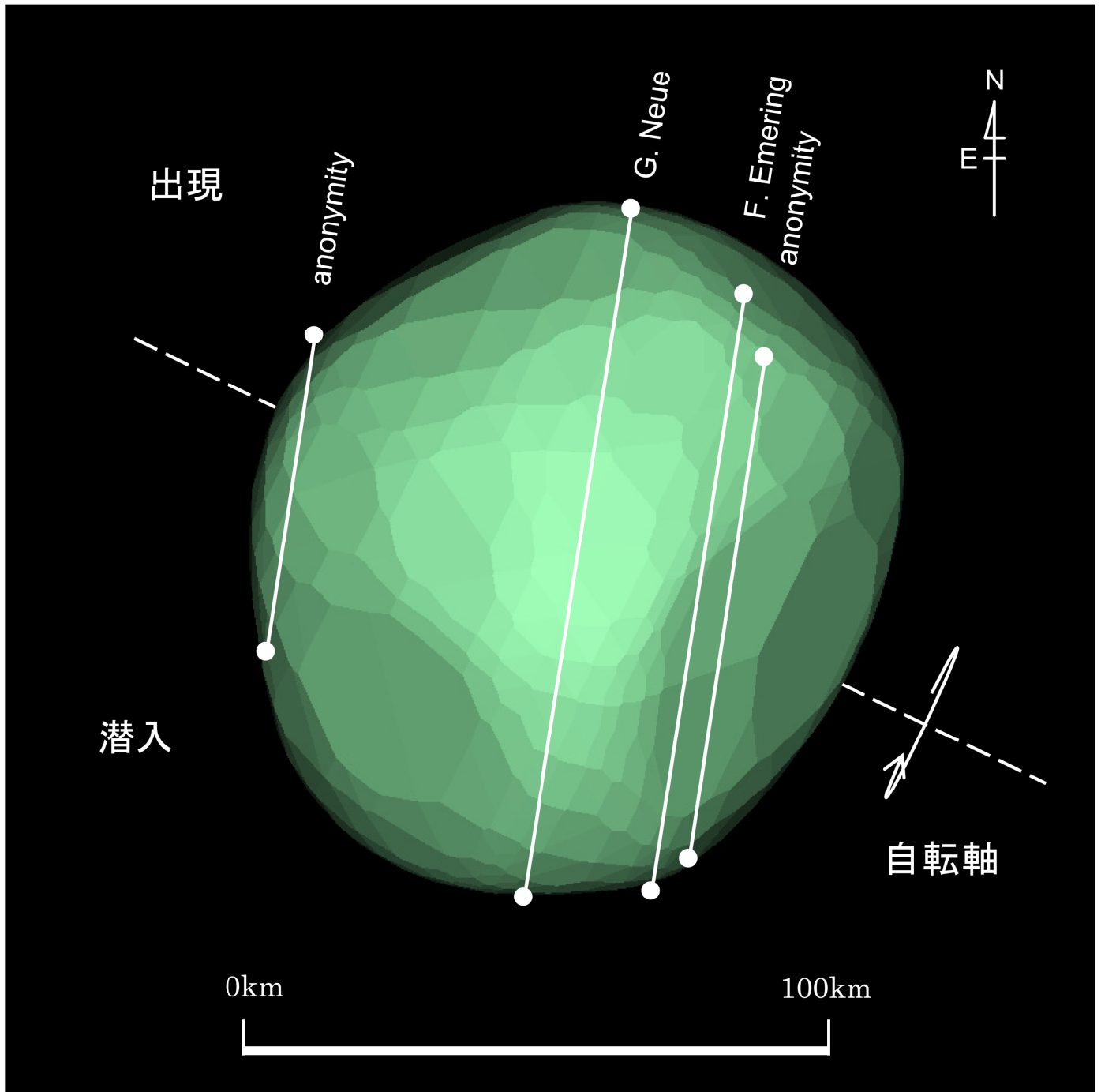


図4 (276) Adelheid 2021年8月31日 21h30m29s UT DAMIT Model 190 ($\lambda = 199$ 、 $\beta = -20$) ※1
 $P = 244^\circ$ 、 $\beta_e = -1^\circ$ 、 $\lambda_e = +131^\circ$ 、Scale Factor 1: 0.943、 $k = 0.981$ 、 $B = 280.6^\circ$

(276) Adelheid

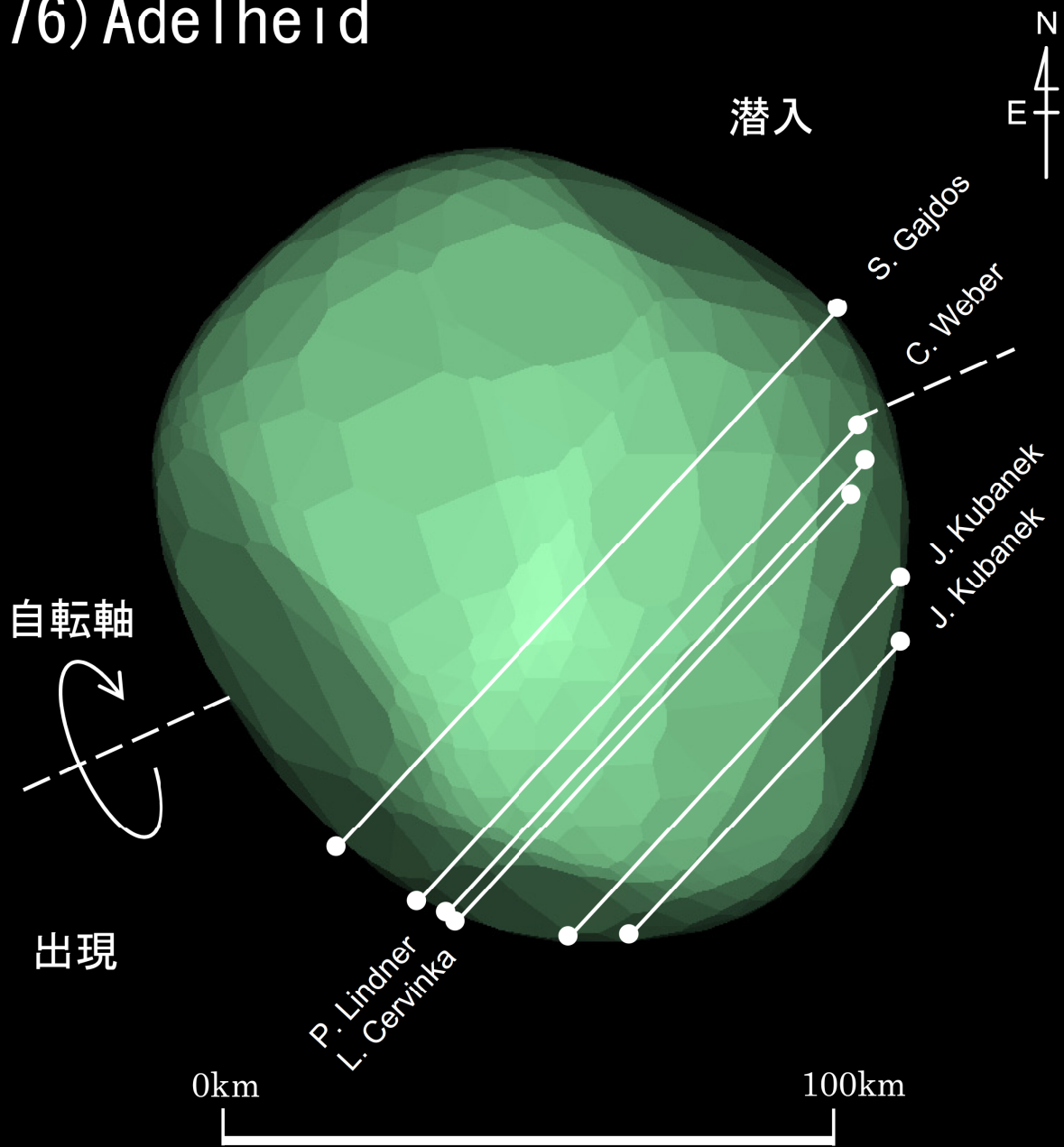


図5 (276) Adelheid 2019年2月17日 20h27m33s UT DAMIT Model 190 ($\lambda = 199$ 、 $\beta = -20$) ※1
 $P = 114^\circ$ 、 $\beta_e = -20^\circ$ 、 $\lambda_e = +294^\circ$ 、Scale Factor 1: 1.031、 $k = 0.988$ 、 $B = 276.6^\circ$

(144) Vibia

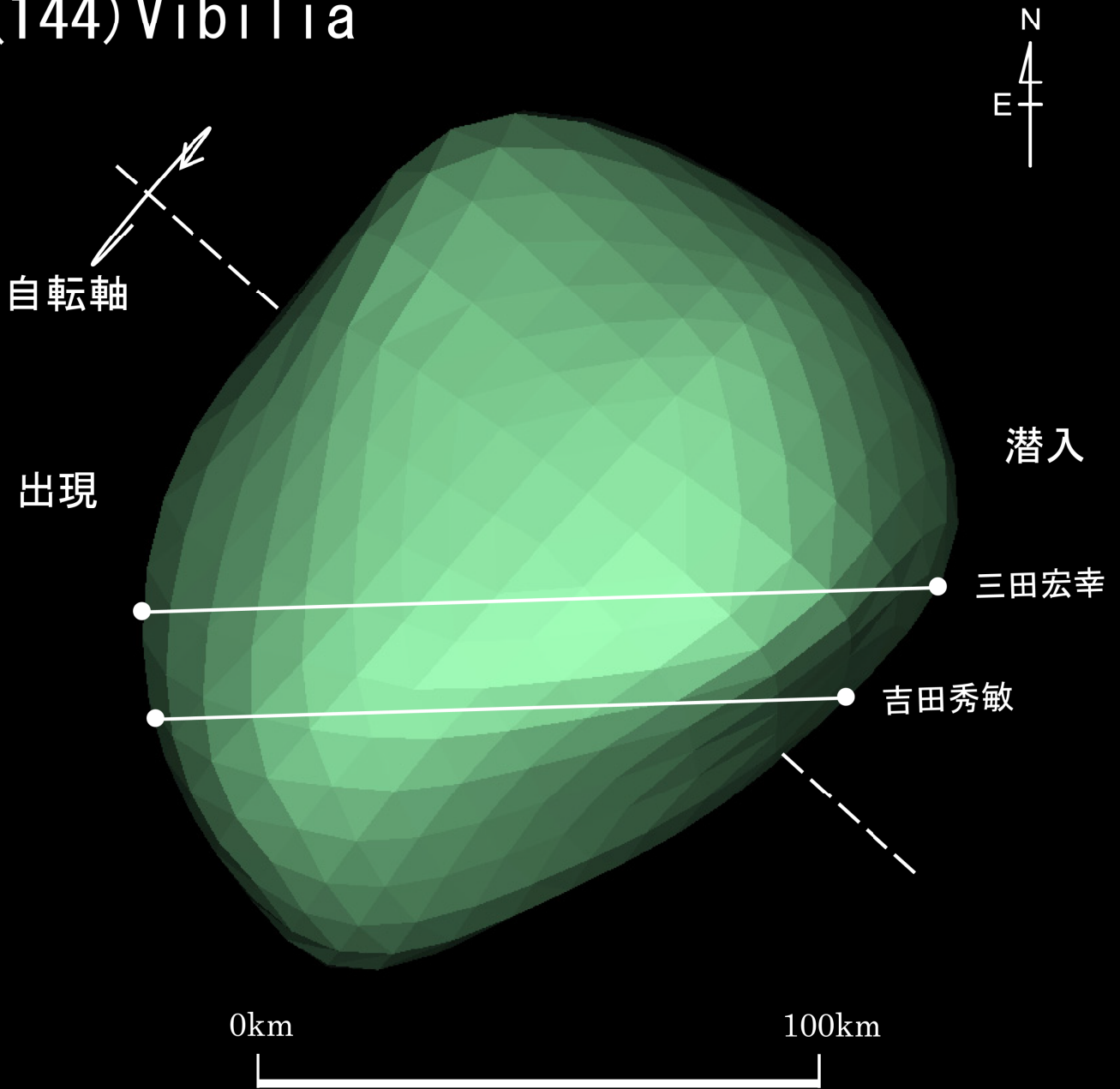


図6 (144) Vibia 2025年4月10日 14h58m51s UT DAMIT Model 1824 ($\lambda = 251$ 、 $\beta = +63$)※1
 $P = 49^\circ$ 、 $\beta_e = -2^\circ$ 、 $\lambda_e = -258^\circ$ 、Scale Factor 1: 1.00、 $k = 0.987$ 、 $B = 297.7^\circ$

(144) Vibia

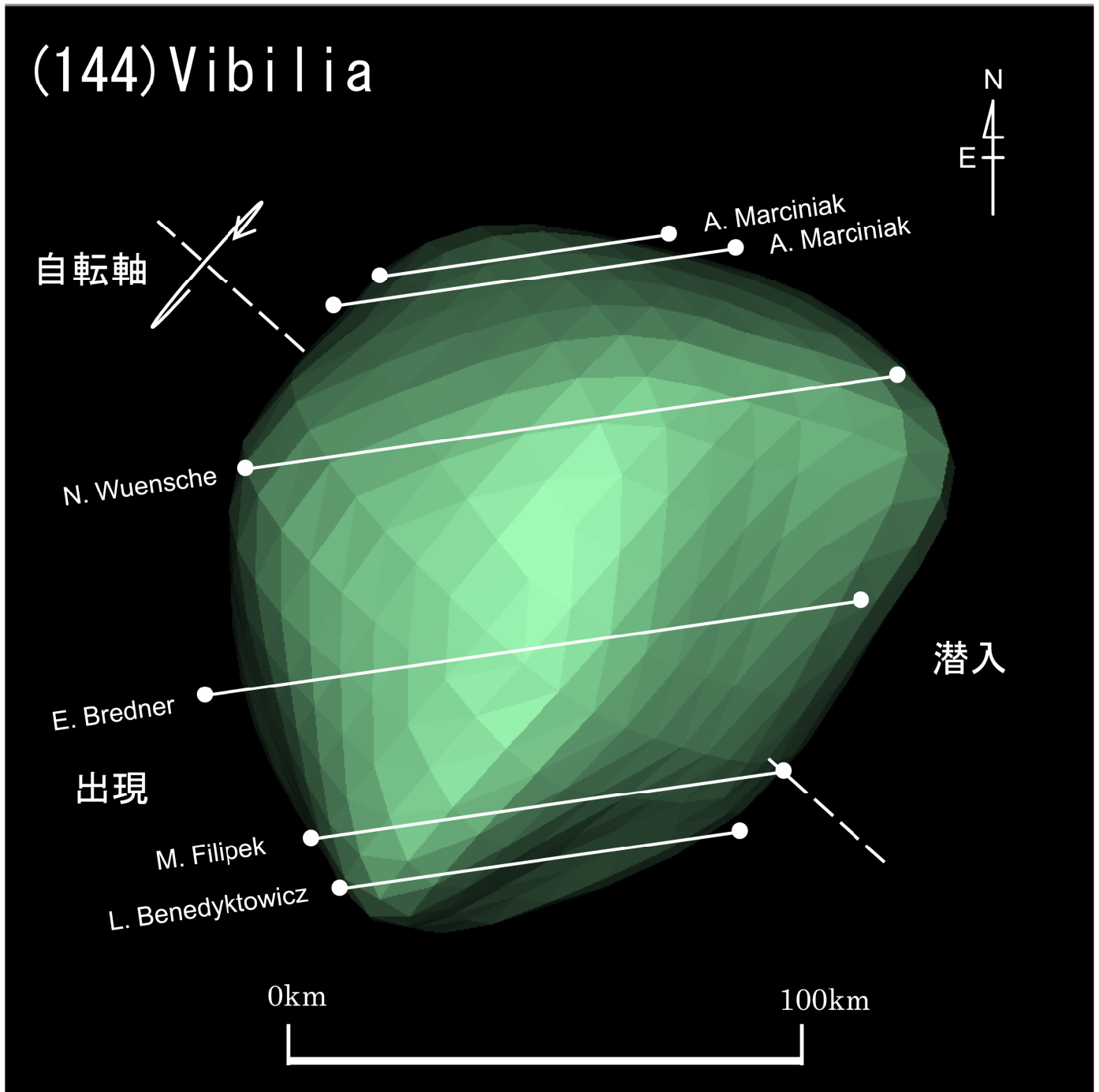


図7 (144) Vibia 2025年4月4日 23h16m38s UT DAMIT Model 1824 ($\lambda = 251$ 、 $\beta = +63$) ※1
 $P = 49^\circ$ 、 $\beta e = -3^\circ$ 、 $\lambda e = -192^\circ$ 、Scale Factor 1: 1.00、 $k = 0.989$ 、 $B = 299.3^\circ$

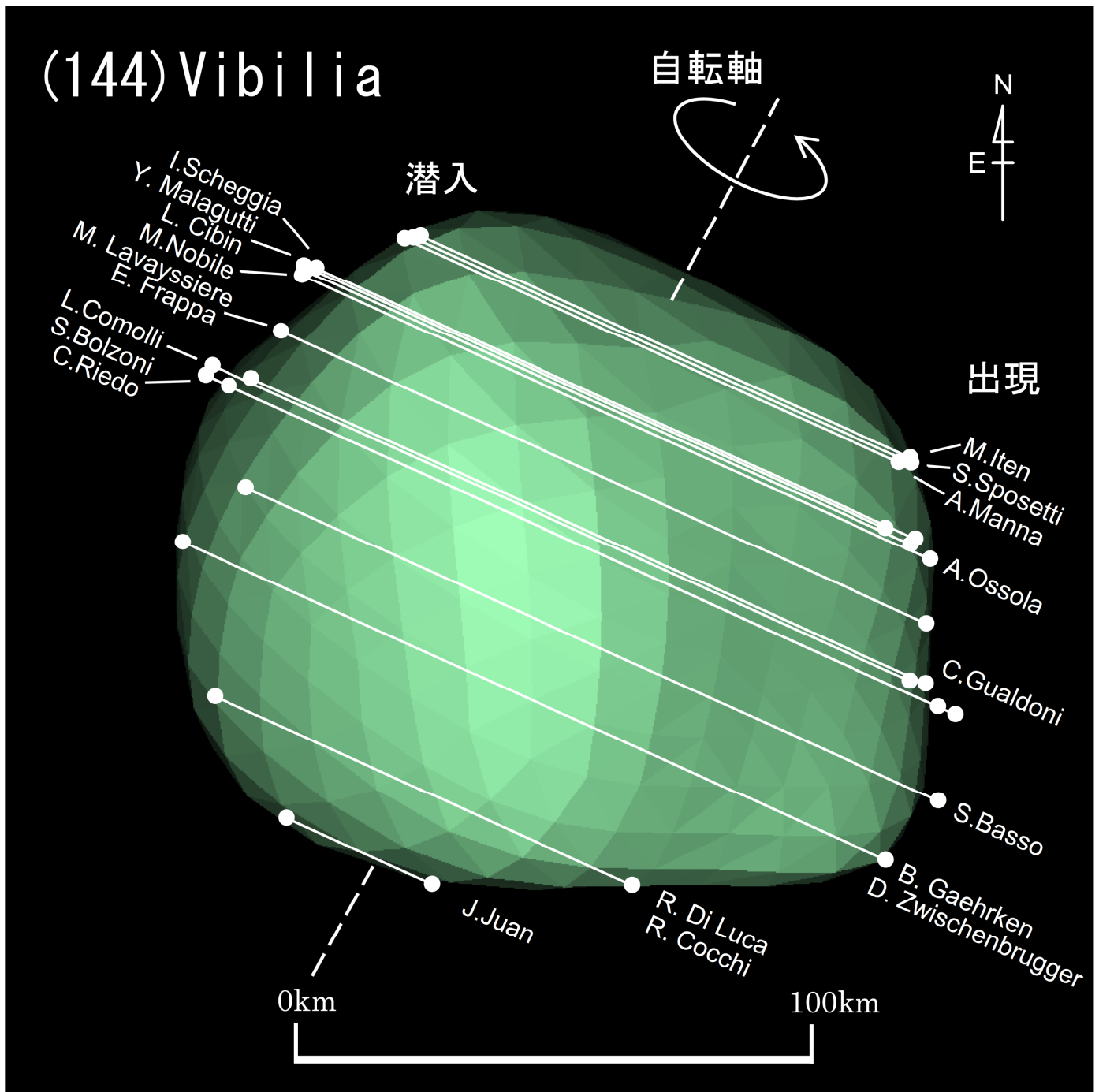


図8 (144) Vibia 2011年1月25日 17h34m11s UT DAMIT Model 1824 ($\lambda = 251$ 、 $\beta = +63$) ※1
 $P = 334^\circ$ 、 $\beta_e = +25^\circ$ 、 $\lambda_e = -55^\circ$ 、Scale Factor 1: 1.00、 $k = 0.954$ 、 $B = 254.4^\circ$

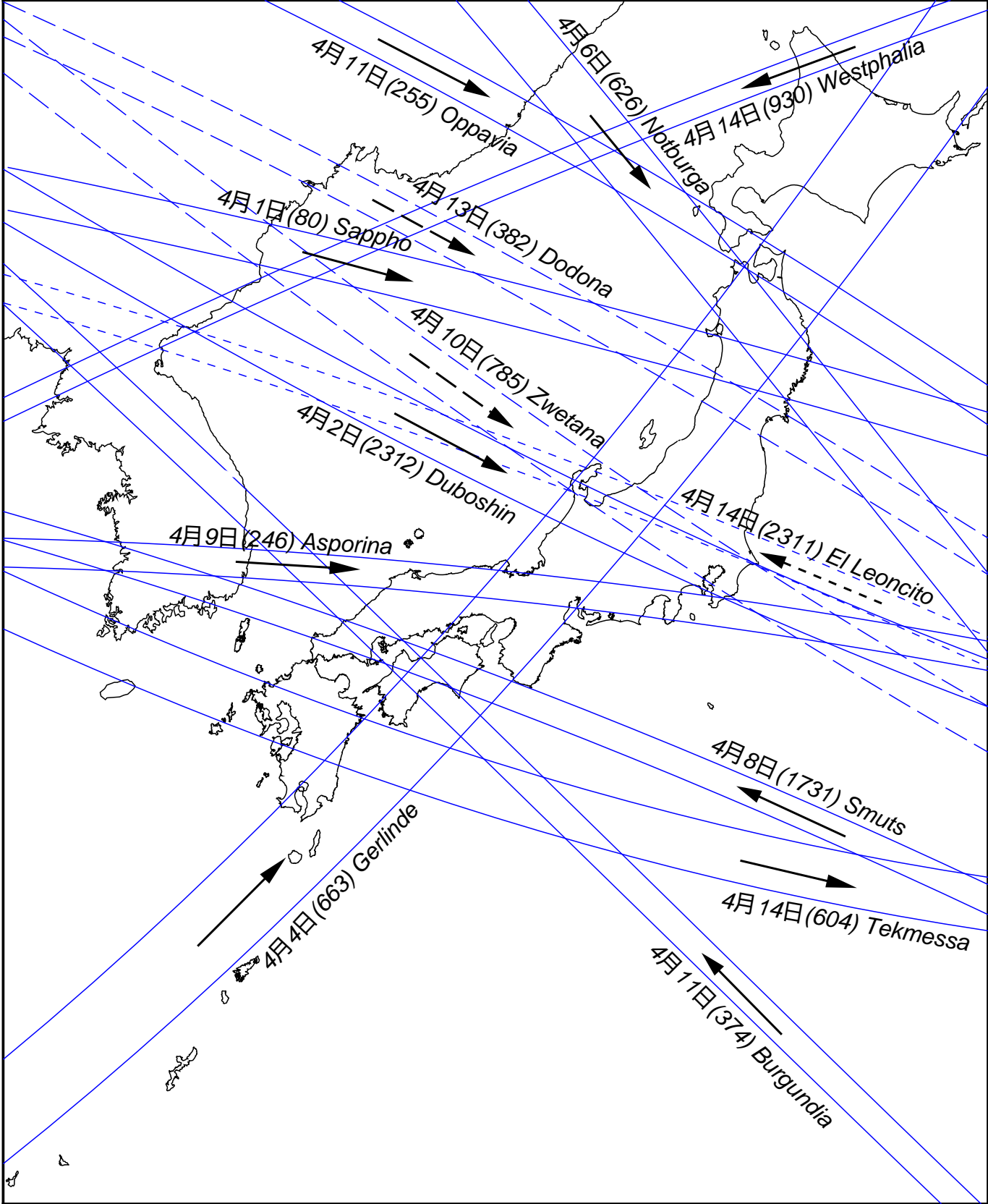


図9 小惑星による主な掩蔽帯経路 (S.Preston初期予報ほか) 2026年 4 月前半
 矢印は影の移動方向を示す

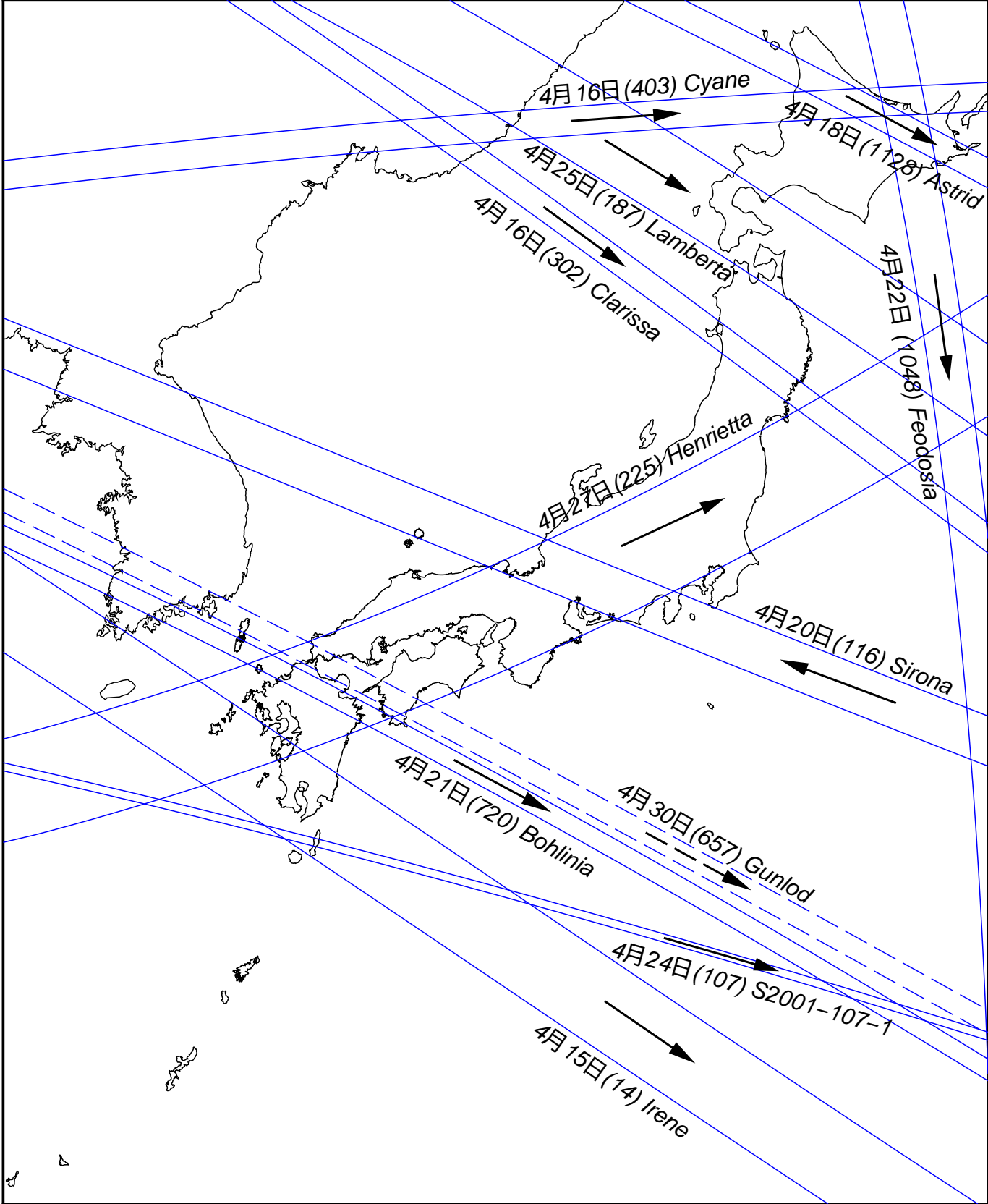


図10 小惑星による主な掩蔽帯経路 (S.Preston初期予報ほか) 2026年4月後半
 矢印は影の移動方向を示す